

تخمین حالت سیستم‌های غیر خطی با استفاده از فیلتر کالمن مکعبی جمع گوسی بر اساس قانون شعاعی- کروی سیمپلکس

محمدامین احمدپور کاچک و بهروز صفری‌نژادیان

و کالمن توسعه یافته^۱ [۵] به ترتیب برای سیستم‌های خطی و غیر خطی استفاده شده‌اند. فیلتر کالمن توسعه یافته از خطی‌سازی توابع غیر خطی به وسیله بسط تیلور مرتبه اول استفاده کرده و بنابراین خطای خطی‌سازی ناشی از آن موجب ایجاد بایاس در تخمین‌های صورت‌گرفته می‌شود و کاربرد آن را علی‌الخصوص برای سیستم‌های با معادلات شدیداً غیر خطی محدود می‌سازد. در [۶] فیلتر دیگری تحت عنوان فیلتر Divided Difference ارائه شده که تقریب تابع غیر خطی را با استفاده از درون‌یاب چندجمله‌ای استرلینگ^۲ انجام می‌دهد و نشان داده شده که تقریب‌های مرتبه بالاتر آن می‌تواند به دقت تخمین مناسب‌تری از فیلتر کالمن توسعه یافته دست یابد.

فیلتر کالمن خنثی^۳ [۷] و فیلتر گوس- هرمیت [۸] نمونه‌های دیگری از فیلترهای غیر خطی هستند که بر مبنای انتشار نقاط نمونه وزن‌دار معین^۴ در توابع غیر خطی و تقریب آنها کار می‌کنند. در میان این دسته از فیلترها، فیلتر کالمن خنثی به علت مصالحه مناسب بین دقت تخمین‌های صورت‌گرفته و بار محاسباتی، توجه محققین بیشتری را به خود معطوف نموده است.

به عنوان یکی از جدیدترین فیلترهای غیر خطی، در [۹] فیلتر کالمن مکعبی^۵ برای تخمین حالات سیستم‌های با ابعاد بالا معرفی شده است. این فیلتر بر اساس قانون مکعبی درجه سه و انتشار نقاط وزن‌دار در تابع غیر خطی استوار است. نویسنده‌گان این مقاله اظهار کردند که قانون مکعبی درجه سه، شکل خاصی از تبدیل خنثی^۶ به کار رفته در فیلتر کالمن خنثی است که مشکلات پایداری عددی آن را نیز مرتفع می‌نماید. نسخه‌ای از این فیلتر برای استفاده در سیستم‌های ترکیبی پیوسته- گستته در [۱۰] ارائه گردیده و همچنین نسخه هموارساز آن در [۱۱] معرفی شده است. در [۱۲] کلاس جدیدی از فیلترهای کالمن مکعبی ارائه شده که مبتنی بر قوانین مکعبی با درجات بالاتر از سه هستند. در این مقاله نشان داده شده که استفاده از قوانین درجه پنج مکعبی، تعادل مناسبی بین دقت تخمین و میزان بار محاسباتی تحمیلی برقرار می‌سازد. به منظور توسعه فیلترهای کالمن مکعبی درجه بالاتر، در [۱۳] نقاط و وزن‌های متاظر برای فیلتر کالمن مکعبی درجه هفت محاسبه شده‌اند و شبیه‌سازی صورت‌گرفته برای ریدیابی هدف مانوردار نشان از افزایش دقت تخمین‌های صورت‌گرفته توسط این فیلتر در برخی کاربردها دارد. در [۱۴]

چکیده: در این مقاله الگوریتم جدیدی از فیلترهای جمع گوسی برای تخمین حالت سیستم‌های غیر خطی ارائه شده است. روش پیشنهادی شامل اجرای چند فیلتر کالمن مکعبی به شکل موازی است به صورتی که هر کدام از این فیلترها بر اساس قوانین شعاعی- کروی سیمپلکس پیاده‌سازی می‌شوند. در این روش تابع چگالی احتمال حالت به صورت مجموع وزنی از چند تابع گوسی است که مقادیر میانگین، کواریانس و همچنین ضرایب وزنی این تابع گوسی به صورت بازگشتی و در طول زمان محاسبه می‌شوند و هر کدام از فیلترهای کالمن مکعبی نیز مسئول به روز رسانی یکی از این توابع هستند. در نهایت عملکرد فیلتر پیشنهادی با استفاده از دو مسأله تخمین حالت غیر خطی مورد بررسی قرار گرفته و نتایج آن با فیلترهای غیر خطی مرسوم مقایسه می‌شود. شبیه‌سازی‌های صورت‌گرفته نشان از دقت مناسب الگوریتم پیشنهادی در تخمین حالت سیستم‌های غیر خطی دارد.

کلیدواژه: سیستم‌های غیر خطی، تخمین حالت، قانون مکعبی سیمپلکس، فیلتر جمع گوسی.

۱- مقدمه

تا به امروز پژوهشگران تلاش‌های قابل توجه و مهمی را برای توسعه روش‌ها و الگوریتم‌های تخمین برای سیستم‌های غیر خطی انجام داده‌اند. علت چنین توجهی را می‌توان در کاربردهای آن در جهان واقعی جست‌وجو کرد. در بسیاری از این کاربردها نیاز است که حالت‌های سیستم با استفاده از اندازه‌گیری‌های آشکنده به نیز تخمین زده شوند که از جمله آنها می‌توان به مکان‌یابی و ریدیابی اهداف [۱]، ناوبری [۲] و کنترل فرایندهای شیمیایی [۳] اشاره نمود.

عموماً روش‌های تخمین بر مبنای مدل دینامیکی و مدل سازی فضای حالت سیستم‌ها عمل می‌کنند. مسأله تخمین حالت به وسیله روش‌های فیلترینگ می‌تواند به شکل گستته- زمان، پیوسته- زمان و یا به صورت ترکیبی از معادلات پیوسته- زمان و گستته- زمان صورت پذیرد. مرسوم‌ترین شکل برای تخمین حالت سیستم‌ها استفاده از معادله (معادلات) گستته- زمان فرایند و معادله (معادلات) گستته- زمان اندازه‌گیری است. بدین منظور برای سال‌های بسیاری و به عنوان اولین تلاش‌ها برای تخمین حالات سیستم‌های دینامیکی، فیلترهای کالمن [۴]

این مقاله در تاریخ ۱۰ اسفند ماه ۱۳۹۸ دریافت و در تاریخ ۸ تیر ماه ۱۴۰۰ بازنگری شد.

محمدامین احمدپور کاچک، دانشکده مهندسی برق و الکترونیک، دانشگاه صنعتی شیراز، شیراز، ایران، (نویسنده مسئول)، (email: en.a.ahmadpour@gmail.com).
بهروز صفری‌نژادیان (نویسنده مسئول)، دانشکده مهندسی برق و الکترونیک، دانشگاه صنعتی شیراز، شیراز، ایران، (email: safarinejad@sutech.ac.ir).

1. Extended Kalman Filter
2. Stirling
3. Unscented Kalman Filter
4. Deterministic Weighted Sample Points
5. Cubature Kalman Filter
6. Unscented Transform

$$y_k = h(x_k) + w_k \quad (2)$$

به طوری که $x_k \in \mathbb{R}^m$ نشان‌دهنده حالت سیستم، $y_k \in \mathbb{R}^n$ بردار اندازه‌گیری‌ها و k گام نمونه‌برداری است. w_k و v_{k-1} نیز نویزهای اندازه‌گیری و فرایند بوده که گوسی، سفید و ناهمبسته فرض می‌شوند و به ترتیب دارای ماتریس‌های کواریانس R_k و Q_{k-1} می‌باشند. ساختار فیلترینگ بیزین برای سیستم‌های خطی گستته - زمان دارای دو مرحله پیش‌بینی و به روز رسانی است که توابع چگالی احتمال پیشین و پسین به وسیله معادلات چمن- کولموگروف^۴ و قاعده بیز به صورت (۳) و (۴) قابل محاسبه هستند

$$p(x_k | y_{k-1}) = \int p(x_k | x_{k-1}) p(x_{k-1} | y_{k-1}) dx_{k-1} \quad (3)$$

$$p(x_k | y_k) = \frac{p(y_k | x_k) p(x_k | y_{k-1})}{\int (y_k | x_k) p(x_k | y_{k-1}) dx_k} \quad (4)$$

در حالتی که معادلات فرایند یا اندازه‌گیری غیر خطی هستند، انتگرال‌های چندگانه (۳) و (۴) که به صورت حاصل ضرب توابع غیر خطی در توابع چگالی احتمال هستند به شکل تحلیلی قابل حل نبوده [۵] و بنابراین در حالت غیر خطی نیازمند فیلترهای زیربهینه^۵ به منظور تقریب روابط هستیم. با فرض گوسی بودن نویزهای فرایند و اندازه‌گیری، توابع چگالی احتمال حالت‌های سیستم در فیلترهای تقریبی غیر خطی نیز گوسی بوده و فقط میانگین و کواریانس حالت‌های سیستم نیازمند محاسبه در هر گام هستند [۱۶]. انتگرال‌های وزن دار گوسی بیان شده می‌توانند به وسیله هر کدام از قوانین تربیع^۶ ارائه شده نظریه تبدیل خشی [۷] یا قانون مکعبی [۹] تقریب زده شده و بر این اساس فیلترهای تقریبی گوسی جدیدی برای تخمین حالات سیستم‌های غیر خطی معرفی می‌شوند. فیلترهای تقریبی گوسی برای تخمین حالات سیستم‌های غیر خطی به صورت خلاصه با (۵) تا (۱۵) بیان می‌شوند [۸] و [۲۲].

مرحله پیش‌بینی

$$\hat{x}_{k|k-1} = \sum_{i=1}^{n_p} W_i f(\varepsilon_i) \quad (5)$$

$$P_{k|k-1} = \sum_{i=1}^{n_p} W_i (f(\varepsilon_i) - \hat{x}_{k|k-1})(f(\varepsilon_i) - \hat{x}_{k|k-1})^T + Q_{k-1} \quad (6)$$

که در (۵) و (۶)، n_p تعداد نقاط و ε_i نقاط تبدیل یافته بوده که با استفاده از تجزیه کواریانس محاسبه می‌شوند و W_i وزن‌های این نقاط هستند

$$P_{k-1|k-1} = SS^T \quad (7)$$

$$\varepsilon_i = S \mu_i + \hat{x}_{k-1|k-1}$$

که در μ_i نشان‌دهنده نقاط تربیع است و همان طور که بیان شد از روش‌های مختلفی نظریه تبدیل خشی به دست آورده می‌شوند.

مرحله به روز رسانی

$$\hat{x}_{k|k} = \hat{x}_{k|k-1} + L_k (y_k - z_k) \quad (8)$$

$$P_{k|k} = P_{k|k-1} + L_k P_{xz}^T \quad (9)$$

$$L_k = P_{xz} (R_k + P_{zz})^{-1} \quad (10)$$

4. Chapman-Kolmogorov

5. Suboptimal Filters

6. Quadrature Rules

کلاس جدیدی از فیلترهای مکعبی ارائه شده که نقاط و وزن‌های فیلترهای کالمون مکعبی با استفاده از قوانین مکعبی سیمپلکس^۷ توسعه پیدا کرده‌اند. مقایسه‌های انجام‌شده حاکی از افزایش دقت تخمین‌های صورت‌گرفته دارد.

در نوع دیگری از فیلترهای غیر خطی که با نام فیلتر ذره‌ای [۱۵] ساخته می‌شوند، اساس کار، شبیه‌سازی مکرر بردار حالت و نمونه‌برداری از آن به تعداد دفعات زیاد است. در این روش به منظور به دست آوردن دقت بیشتر، نیاز است که تعداد نمونه‌ها (ذرات) افزایش یابد که انجام محاسبات تعداد زیاد نمونه‌ها برای سیستم‌های با ابعاد بالا، نیاز به محاسبات و صرف زمان زیادی دارد.

در [۱۶] به منظور کاهش خطای خطی‌سازی فیلتر کالمون توسعه یافته، ساختار جمع گوسی شامل چند فیلتر کالمون توسعه یافته به عنوان یکی از روش‌های مرتبه بالا به تفصیل توضیح داده شده است. ایده اصلی استفاده از این ساختار بر اساس تقریب یکتابع چگالی احتمال غیر گوسی به کمک مجموع چند تابع چگالی گوسی است. نمونه‌هایی از این ساختار جمع گوسی برای کاربردهای خاص ردبایی هدف در [۱۷] و [۱۸] توسعه پیدا کرده‌اند و همچنین در [۱۹] ساختار جمع گوسی بر مبنای چند فیلتر کالمون خنثی مرتبه بالا ارائه شده است.

دسته دیگری از فیلترها برای تخمین حالت سیستم‌های پیوسته- زمان مورد استفاده قرار می‌گیرند. در [۲۰] فیلتر کالمون خنثی برای سیستم‌های پیوسته- زمان توسعه پیدا کرده و فیلتر حاصل با نام فیلتر کالمون- بوسی خنثی^۸ ساخته می‌شود. فیلتر مودال- کالمون روش دیگری برای تخمین حالت‌های سیستم‌های پیوسته- زمان است که در [۲۱] ارائه شده است. این فیلتر بر اساس روش سری مودال پیاده‌سازی شده که با استفاده از آن می‌توان مسئله فیلترینگ غیر خطی را به مجموعه‌ای از مسایل فیلترینگ خطی تبدیل کرد و با استفاده از فیلتر کالمون، تخمین بردار حالت هر یک از سیستم‌ها را به دست آورد.

در ادامه ساختار ذیل برای مقاله سازمان‌دهی شده است: در بخش ۲ ساختار فیلترهای تقریبی گوسی مبتنی بر نقاط^۹ بیان می‌شوند. در بخش ۳ قوانین شعاعی- کروی و شعاعی- کروی سیمپلکس معرفی می‌شوند. بخش ۴ شامل ایده اصلی مقاله و الگوریتم پیشنهادی است. در این بخش ابتدا مفهوم فیلتر جمع گوسی بیان شده و سپس بر اساس قانون شعاعی- کروی سیمپلکس، الگوریتم روش پیشنهادی به کمک روابط بخش ۲ و روابط فیلتر جمع گوسی معرفی می‌گردد. در بخش ۵ عملکرد روش پیشنهادی با استفاده از شبیه‌سازی روی سیستم‌های غیر خطی مورد بررسی قرار گرفته و با روش‌های فیلترینگ مرسوم مقایسه می‌گردد و بخش ۶ و پایانی نیز شامل نتیجه‌گیری و جمع‌بندی نهایی مقاله است.

۲- فیلترهای تقریبی گوسی مبتنی بر نقاط

در این بخش به معرفی و بررسی روابط فیلترهای تقریبی گوسی که بر مبنای انتشار نقاط معین در تابع غیر خطی عمل می‌کنند پرداخته می‌شود. فرض کنیم کلاسی از سیستم‌های غیر خطی گستته- زمان به صورت (۱) و (۲) توصیف شود

$$x_k = f(x_{k-1}) + v_{k-1} \quad (1)$$

1. Simplex Cubature Rule

2. Unscented Kalman-Bucy Filter

3. Points-Based Gaussian Approximation Filter

که از حل آن، نقاط و وزن‌های قانون شعاعی درجه ۳ به صورت (۲۲) به دست می‌آیند

$$\begin{cases} \omega_{r_i, r_i} = \frac{1}{2} \Gamma\left(\frac{1}{2}n\right) \\ \omega_{r_i, r_j} = \frac{1}{2} \Gamma\left(\frac{1}{2}(n+1)\right) = \frac{n}{4} \Gamma\left(\frac{1}{2}n\right) \end{cases} \quad (21)$$

$$r_i = \sqrt{\frac{n}{2}} \quad (22)$$

برای حل انتگرال کروی (۲۰) و به منظور محاسبه قانون کروی (۲۳) و قانون کروی سیمپلکس (۲۴)، از روش گنز^۱ [۲۳] به شکل مرسوم استفاده شده است

$$S_r^{SR}(r) = \frac{A_n}{\sqrt{n}} \sum_{j=1}^n [g(e_j) + g(-e_j)] \quad (23)$$

$$S_r^{SSR}(r) = \frac{A_n}{\sqrt{(n+1)}} \sum_{j=1}^{n+1} [g(r\alpha_j) + g(-r\alpha_j)] \quad (24)$$

که A_n مساحت رویه کره‌ای به شعاع واحد و e_j بردار واحد است که ز امین عنصر آن یک است. همچنین بردار a_j در قانون شعاعی-کروی سیمپلکس به صورت $[a_{j,1}, a_{j,2}, \dots, a_{j,n}]^T$ ، $j = 1, 2, \dots, n+1$ معرفی شده که مقادیر درایه‌های آن از (۲۵) محاسبه می‌شوند [۲۳]

$$\alpha_{j,l} = \begin{cases} -\sqrt{\frac{n+1}{n(n-l+2)(n-l+1)}}, & l < j \\ \sqrt{\frac{(n+1)(n-j+1)}{n(n-j+2)}}, & l = j \\ \cdot, & l > j \end{cases} \quad (25)$$

حال برای محاسبه (۱۶)، با ترکیب قانون شعاعی به ترتیب با قوانین کروی و کروی سیمپلکس، قانون شعاعی-کروی (مکعبی) و قانون شعاعی-کروی سیمپلکس (مکعبی سیمپلکس) به صورت (۲۶) و (۲۷) به دست می‌آیند

$$Q^{SR}(g) = \frac{1}{\sqrt{n}} \sum_{j=1}^n [g(\sqrt{n}e_j) + g(-\sqrt{n}e_j)] \quad (26)$$

$$Q^{SSR}(g) = \frac{1}{\sqrt{(n+1)}} \sum_{j=1}^{n+1} [g(\sqrt{n}\alpha_j) + g(-\sqrt{n}\alpha_j)] \quad (27)$$

بنابراین قانون شعاعی-کروی سیمپلکس به جای استفاده از $2n+2$ نقطه مکعبی استفاده کرده و در [۱۴] نشان داده شده که تخمین‌های به دست آمده با استفاده از انتشار این نقاط می‌تواند به دقت بالاتری دست یابد. نقاط مکعبی به دست آمده بر اساس قوانین شعاعی-کروی و شعاعی-کروی سیمپلکس (درجه ۳) برای یک سیستم دو بعدی به همراه وزن‌هایشان در شکل‌های ۱ و ۲ نشان داده شده‌اند.

$$z_k = \sum_{i=1}^{n_p} W_i h(\tilde{\varepsilon}_i) \quad (11)$$

$$P_{xz} = \sum_{i=1}^{n_p} W_i (\tilde{\varepsilon}_i - \hat{x}_{k|k-1})(h(\tilde{\varepsilon}_i) - z_k)^T \quad (12)$$

$$P_{zz} = \sum_{i=1}^{n_p} W_i (h(\tilde{\varepsilon}_i) - z_k)(h(\tilde{\varepsilon}_i) - z_k)^T \quad (13)$$

در (۱۱) تا (۱۳)، $\tilde{\varepsilon}_i$ نقاط تبدیل یافته جدید بوده که از تجزیه کواریانس پیش‌بینی محاسبه می‌شوند

$$\begin{aligned} P_{k|k-1} &= \tilde{S} \tilde{S}^T \\ \tilde{\varepsilon}_i &= \tilde{S} \mu_i + \hat{x}_{k|k-1} \end{aligned} \quad (14)$$

در این مقاله نقاط تربیع به وسیله قانون شعاعی-کروی سیمپلکس محاسبه می‌شوند که در بخش ۳ بیان می‌گردد.

۳- قوانین شعاعی-کروی و شعاعی-کروی سیمپلکس

در مسایل فیلترینگ بیزین با دامنه گوسی، نیاز به محاسبه انتگرال‌هایی است که توابع زیر انتگرال در آن در حالت کلی به صورت حاصل ضرب یکتابع چگالی گوسی در یکتابع غیرخطی به فرم (۱۵) می‌باشد [۹]

$$I(g) = \int_{R^n} g(x) e^{(-x^T x)} dx \quad (15)$$

که با استفاده از حل روش‌های عددی، انتگرال‌های به فرم (۱۵) قابل تقریب به صورت جمع توابع وزن‌داری هستند که با (۱۶) قابل بیان است

$$Q(g) = \sum_{i=1}^{n_p} W_i g(x_i) \quad (16)$$

که x_i ‌ها در اینجا همان نقاط برداری هستند. در روش مکعبی [۹] برای حل انتگرال‌های به فرم (۱۵) از قوانین شعاعی-کروی و در روش مکعبی سیمپلکس [۱۴] از قوانین شعاعی-کروی سیمپلکس استفاده می‌شود. حال با استفاده از تبدیل شعاعی-کروی (روابط (۱۷)، انتگرال کارتزین (۱۵) به فرم انتگرال شعاعی-کروی (۱۸) نوشته می‌شود [۹]

$$\begin{aligned} x &= ry \\ y^T y &= 1 \\ r &= \sqrt{x^T x} \end{aligned} \quad (17)$$

$$I(g) = \int_{U_n} \int g(ry) r^{n-1} e^{-r^2} d\sigma(y) dr \quad (18)$$

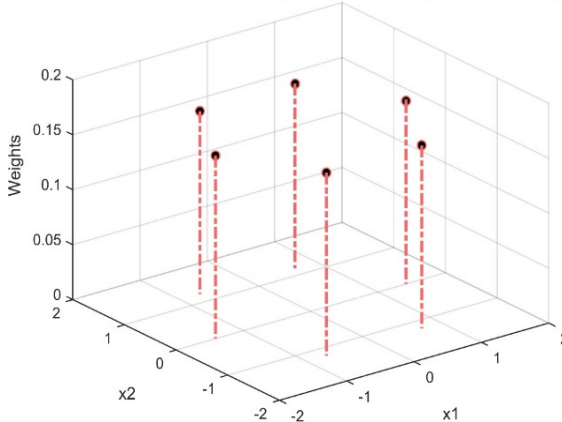
در (۱۸)، U_n رویه کره است که به صورت $\{y \in \mathbb{R}^n \mid y^T y = 1\}$ تعریف شده و (\cdot) اندازه رویه کره می‌باشد. رابطه (۱۸) به شکل دو انتگرال جداگانه شعاعی و کروی به صورت (۱۹) و (۲۰) قابل بیان است

$$I = \int_{U_n} S(r) r^{n-1} e^{-r^2} dr \quad (19)$$

$$S(r) = \int_{U_n} g(ry) d\sigma(y) \quad (20)$$

قانون گوس-لاگر تعمیم‌یافته به صورت کارامد برای محاسبه نقاط و وزن‌های انتگرال شعاعی (۱۹) استفاده می‌شود [۹] و [۱۲]. در نهایت با استفاده از برابری $\Gamma(z+1) = z\Gamma(z)$ ، روابط (۲۱) قابل حصول هستند

Cubature Points Based-on 3rd-degree Spherical Simplex-Radial (SSR) Rule



شکل ۲: نقاط مکعبی به دست آمده بر اساس قانون شعاعی-کروی سیمپلکس درجه ۳ برای یک سیستم دو بعدی.

حال اگر چگالی پسین به صورت (۲۹) نشان داده شود تخمین حالت پسین از (۳۳) به دست می آید

$$\hat{x}_{k|k} = E[x_k | y_k] = \sum_{i'=1}^{N_{gc}} \alpha_{k|k}^{i'} \hat{x}_{k|k}^{i'} \quad (33)$$

و به طور مشابه نیز کواریانس خطای پسین از (۳۴) قابل حصول است

$$\begin{aligned} P_{k|k} &= E[(x_k - \hat{x}_{k|k})(x_k - \hat{x}_{k|k})^T] \\ &= \sum_{i'=1}^{N_{gc}} \alpha_{k|k}^{i'} [P_{k|k}^{i'} + (\hat{x}_{k|k} - \hat{x}_{k|k}^{i'})(\hat{x}_{k|k} - \hat{x}_{k|k}^{i'})^T] \end{aligned} \quad (34)$$

در (۳۳) و (۳۴)، E نماد امید ریاضی است.

۴- پیاده سازی فیلتر کالمن مکعبی جمع گوسی با استفاده از قانون شعاعی-کروی سیمپلکس

در این بخش با استفاده از روابط بخش ۲ و قانون شعاعی-کروی سیمپلکس معرفی شده در بخش ۳ و همچنین روابط فیلتر جمع گوسی، الگوریتم روش پیشنهادی ارائه می گردد. فرض کنیم چگالی پسین در گام قبلی یعنی $p(x_{k-1} | y_{k-1})$ به کمک معادلات فرایند و اندازه گیری معلوم بوده و در ابتدا آن را با استفاده از مجموع وزن داری از توابع گوسی تقریب می زیم

$$\hat{p}(x_{k-1} | y_{k-1}) \approx \sum_{i'=1}^{N_{gc}} \alpha_{k-1|k-1}^{i'} N(x_{k-1}; \hat{x}_{k-1|k-1}^{i'}, p_{k-1|k-1}^{i'}) \quad (35)$$

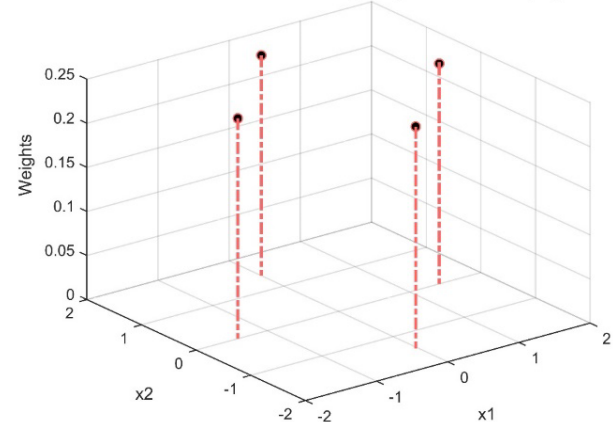
و نقاط مکعبی و وزن های متناظر را بر اساس قانون شعاعی-کروی سیمپلکس محاسبه می کنیم

$$C_p = \sqrt{n} \times [a_1 \ a_2 \ \dots \ a_{n+1} \ -a_1 \ -a_2 \ \dots \ -a_{n+1}] \quad (36)$$

$$W_i = \frac{1}{2n+2} \text{ for } i = 1, 2, \dots, 2n+2 \quad (37)$$

در (۳۷)، $a_j = [a_{j,1}, a_{j,2}, \dots, a_{j,n}]^T$ ، $j = 1, 2, \dots, n+1$ و مقادیر $a_{j,l}$ ها از (۲۵) محاسبه می شوند. از آنچه ای که نقاط و وزن های متناظر آنها مستقل از اندازه گیری ها هستند، می توان به صورت برونو خط قبل از اجرای مراحل بازگشتی فیلتر، این مقادیر را محاسبه و در حافظه ذخیره

Cubature Points Based-on 3rd-degree Spherical-Radial (SR) Rule



شکل ۱: نقاط مکعبی به دست آمده بر اساس قانون شعاعی-کروی درجه ۳ برای یک سیستم دو بعدی.

۴- روش پیشنهادی

روش پیشنهادی در این مقاله شامل چند فیلتر کالمن مکعبی است که به طور موازی و در ساختار جمع گوسی اجرا شده و نقاط مکعبی در آنها بر اساس قانون شعاعی-کروی سیمپلکس به دست می آیند. مزیت اصلی استفاده از قانون شعاعی-کروی سیمپلکس افزایش دقت تخمین ها به ازای افزایش ناچیز بار محاسباتی به واسطه وجود دو نقطه افزوده شده است که در سیستم های با ابعاد بالا اهمیت زیادی ندارد. در این بخش ابتدا فیلتر جمع گوسی معرفی گردیده و سپس جزئیات روابط فیلتر پیشنهادی بررسی می شود.

۴-۱ فیلتر جمع گوسی

در روش جمع گوسی، توابع چگالی پیشین و پسین در (۳) و (۴) به وسیله مجموع وزن داری از توابع گوسی معرفی می شوند [۲۴]. بنابراین چگالی پیشین را می توان به صورت (۲۸) بیان نمود

$$p(x_k | y_{k-1}) \approx \sum_{i'=1}^{N_{gc}} \alpha_{k|k-1}^{i'} N(x_k; \hat{x}_{k|k-1}^{i'}, p_{k|k-1}^{i'}) \quad (28)$$

در (۲۸)، N_{gc} نشان دهنده تعداد چگالی های گوسی و α' وزن های متناظر آنها هستند. به صورت مشابه نیز چگالی پسین را می توان به فرم (۲۹) نمایش داد

$$\begin{aligned} p(x_k | y_k) &\propto p(y_k | x_k) p(x_k | y_{k-1}) \\ &\approx \sum_{i'=1}^{N_{gc}} \alpha_{k|k}^{i'} N(x_k; \hat{x}_{k|k}^{i'}, p_{k|k}^{i'}) \end{aligned} \quad (29)$$

به روز رسانی وزن های چگالی های گوسی در حضور اندازه گیری ها از (۳۰) قابل محاسبه است [۲۴]

$$\alpha_{k|k}^{i'} = \frac{p(y_k | x_{k,i'}) \alpha_{k|k-1}^{i'}}{\sum_{i'=1}^{N_{gc}} p(y_k | x_{k,i'}) \alpha_{k|k-1}^{i'}} \quad (30)$$

وزن های $\alpha_{k|k}^{i'}$ دارای دو ویژگی نرمالیزه بودن و مشتبه بودن زیر هستند

$$\sum_{i'=1}^{N_{gc}} \alpha_{k|k}^{i'} = 1 \quad (31)$$

$$\alpha_{k|k}^{i'} \geq 0 \quad (32)$$

$$\hat{y}_{k|k-1}^{i'} = W_i \sum_{i=1}^{n+1} Y_{i,k|k-1}^{i'} \quad (47)$$

$$P_{yy,k|k-1}^{i'} = W_i \sum_{i=1}^{n+1} (Y_{i,k|k-1}^{i'} - \hat{y}_{k|k-1}^{i'}) (Y_{i,k|k-1}^{i'} - \hat{y}_{k|k-1}^{i'})^T + R_k \quad (48)$$

$$P_{xy,k|k-1}^{i'} = W_i \sum_{i=1}^{n+1} (X_{i,k|k-1}^{(i)} - \hat{x}_{k|k-1}^{i'}) (Y_{i,k|k-1}^{i'} - \hat{y}_{k|k-1}^{i'})^T \quad (49)$$

به کمک (۴۸) و (۴۹)، بهره فیلتر از (۵۰) محاسبه شده و مقادیر تخمین بردار حالت و ماتریس کواریانس خطای برای هر فیلتر به دست می‌آید.

$$K_k^{i'} = P_{xy,k|k-1}^{i'} P_{yy,k|k-1}^{-1} \quad (50)$$

$$\hat{x}_{k|k}^{i'} = \hat{x}_{k|k-1}^{i'} + K_k^{i'} (y_k - \hat{y}_{k|k-1}^{i'}) \quad (51)$$

$$P_{k|k}^{i'} = P_{k|k-1}^{i'} - K_k^{i'} P_{yy,k|k-1}^{i'} K_k^{i'T} \quad (52)$$

در ادامه و در ساختار جمع گویی، وزن‌های جدید برای هر فیلتر به طور مجزا از (۳۰) به دست می‌آید که در آن $p(y_k | x_k, i')$ احتمال اندازه‌گیری برای i' امین فیلتر کالمن مکعبی است که نمایانگر میزان همخوانی اندازه‌گیری انجام‌شده در هر لحظه با تخمین انجام‌شده به وسیله i' امین فیلتر کالمن مکعبی است که از (۵۳) قابل محاسبه است

$$p(y_k | x_k, i') = \frac{1}{\sqrt{2\pi P_{yy,k|k-1}^{i'}}} e^{-\frac{(y_k - \hat{y}_{k|k-1}^{i'})^2}{2P_{yy,k|k-1}^{i'}}} \quad (53)$$

در مرحله پایانی، مقادیر تخمین‌ها و ماتریس کواریانس خطای فیلتر جمع گویی مکعبی با استفاده از جمع وزن داری از مقادیر آنها در هر فیلتر مطابق (۳۳) و (۳۴) به دست می‌آید. ساختار کلی روش پیشنهادی برای تخمین حالت سیستم‌های غیر خطی در شکل ۳ نمایش داده شده است.

۵- شبیه‌سازی

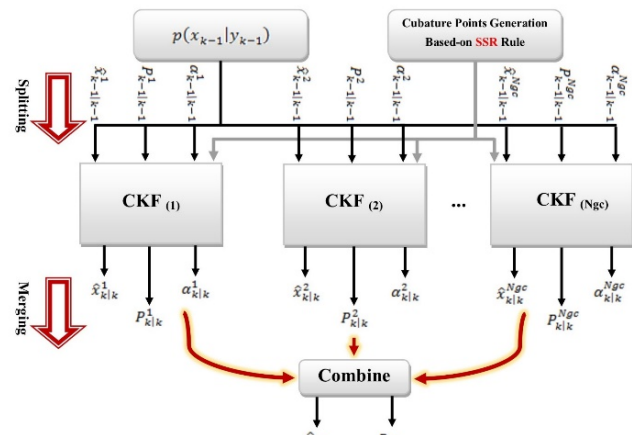
در این بخش، روش پیشنهادی بر روی دو مسأله غیر خطی یکبعدی و چندبعدی مورد آزمایش قرار گرفته و عملکرد آن با برخی روش‌های فیلترینگ مرسوم مقایسه می‌شود.

۱-۵ تخمین حالت سیستم غیر خطی یکبعدی

سیستم در نظر گرفته شده برای تخمین حالت در [۲۵] و [۲۶] معرفی شده است که معادلات فرایند و اندازه‌گیری گستته-زمان آن به صورت (۵۴) می‌باشد

$$\begin{aligned} x_k &= x_{k-1} + 5Tx_{k-1}(1-x_{k-1}) + v_{k-1} \\ y_k &= Tx_k(1-0.5x_k) + W_k \end{aligned} \quad (54)$$

که در (۵۴)، v_{k-1} و w_k نویزهای سفید گویی بوده که به صورت $w_k \sim (\cdot, R)$ و $v_{k-1} \sim (\cdot, Q)$ تعریف می‌شوند که در آنها $R = b^T b$ و $Q = b^T T b$ می‌باشند. $T = d^T$ زمان نمونه‌برداری و b و d به عنوان ثوابت عددی هستند. این سیستم دارای سه نقطه تعادل -1 ، 0 و 1 است که دو نقطه تعادل اول آن پایدار و نقطه تعادل سوم ناپایدار است. بنابراین متغیرهای حالت حول نقاط تعادل پایدار باقی مانده و با گذشت زمان از یک نقطه به محل نقطه تعادل دیگر تغییر وضعیت می‌دهند. در شبیه‌سازی انجام‌شده، زمان نمونه‌برداری 0.1 ثانیه و مقادیر b و d به ترتیب 0.5 و 0.1 انتخاب شده‌اند. مقدار اولیه حالت سیستم یعنی x برابر با 0.2 و مقادیر اولیه برای همه فیلترهای اجراشده برابر با 0.8 و \hat{x} با



شکل ۳: ساختار کلی روش تخمین پیشنهادی.

کرد. در ادامه و در مرحله پیش‌بینی با استفاده از تجزیه چولسکی، جذر ماتریس کواریانس خطای پسین گام قبلی را محاسبه می‌کنیم

$$P_{k-1|k-1}^{i'} = S_{k-1|k-1}^{i'} S_{k-1|k-1}^{i'T} \quad (38)$$

در ادامه، نقاط مکعبی با استفاده از تخمین‌های به دست آمده از گام قبلی ارزیابی شده و مطابق (۴۰) درتابع غیر خطی فرایند انتشار می‌یابند

$$X_{i,k-1|k-1}^{i'} = S_{k-1|k-1}^{i'} C_p + \hat{x}_{k-1|k-1}^{i'} \quad (39)$$

$$X_{i,k-1|k-1}^{(i)} = f(X_{i,k-1|k-1}^{i'}) \quad (40)$$

و تخمین و کواریانس پیش‌بینی به ترتیب از (۴۱) و (۴۲) محاسبه می‌شوند

$$\hat{x}_{k|k-1}^{i'} = W_i \sum_{i=1}^{n+1} X_{i,k-1|k-1}^{(i)} \quad (41)$$

$$\begin{aligned} P_{k|k-1}^{i'} &= \\ &W_i \sum_{i=1}^{n+1} (\hat{x}_{i,k-1|k-1}^{(i)} - \hat{x}_{k|k-1}^{i'}) (\hat{x}_{i,k-1|k-1}^{(i)} - \hat{x}_{k|k-1}^{i'})^T + Q_{k-1} \end{aligned} \quad (42)$$

در مرحله پیش‌بینی وزن‌های چگالی‌های گویی ثابت باقی می‌مانند، یعنی

$$\alpha_{k|k-1}^{i'} = \alpha_{k-1|k-1}^{i'} \quad (43)$$

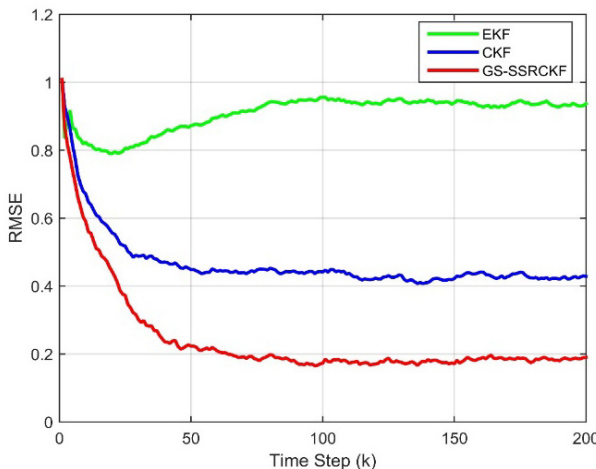
و چگالی پیش‌بینی به صورت مجموع وزن داری از چگالی‌های گویی به صورت (۲۸) خواهد بود. حال در مرحله پیش‌بینی، $p(x_k | y_{k-1})$ محاسبه شد و به کمک اندازه‌گیری جدید انجام گرفته y_k در مرحله به روز رسانی، به طور مشابه (۴۲) با مجموع وزن داری از چگالی‌های گویی قابل محاسبه است. در مرحله به روز رسانی مجددًا با استفاده از تجزیه چولسکی، در مرحله به روز رسانی، جذر ماتریس کواریانس خطای مرحله پیش‌بینی محاسبه شده و به کمک آن، نقاط مکعبی جدید ارزیابی و در تابع غیر خطی اندازه‌گیری انتشار می‌یابند:

$$P_{k|k-1}^{i'} = S_{k|k-1}^{i'} S_{k|k-1}^{i'T} \quad (44)$$

$$X_{i,k|k-1}^{i'} = S_{k|k-1}^{i'} C_p + \hat{x}_{k|k-1}^{i'} \quad (45)$$

$$Y_{i,k|k-1}^{i'} = h(X_{i,k|k-1}^{i'}) \quad (46)$$

در ادامه، اندازه‌گیری پیش‌بینی شده و ماتریس‌های کواریانس و کواریانس متقابلاً با (۴۷) تا (۴۹) تعیین می‌شوند



شکل ۵: مقایسه عملکرد روش پیشنهادی در مقایسه با روش‌های دیگر تخمین با ۲۰۰ بار اجرای مونت کارلو.

$$\begin{aligned}x_{\text{v},k+1} &= x_{\text{v},k} + \Delta t f_{\text{v}}(x_{\text{v}}, x_{\text{r}}, x_{\text{r}}) \\x_{\text{r},k+1} &= x_{\text{r},k} + \Delta t f_{\text{r}}(x_{\text{v}}, x_{\text{r}}, x_{\text{r}}) \\x_{\text{r},k+1} &= x_{\text{r},k} + \Delta t f_{\text{r}}(x_{\text{v}}, x_{\text{r}}, x_{\text{r}})\end{aligned}\quad (\delta V)$$

نويز فرایند گوسی به صورت (Q, \cdot) به معادلات (۵۷) افروده شده که در آن Q ماتریس کواریانس نويز فرایند است که به صورت و به صورت تعریف می‌شود

$$Q = \begin{bmatrix} \cdot & \cdot & \cdot \\ \cdot & \cdot & \cdot \\ \cdot & \cdot & \ddots \end{bmatrix} \quad (\Delta\lambda)$$

معادله اندازه‌گیری را به صورت فاصله از مبدأ به فرم (۵۹) تعریف کرده‌ایم

$$y_k = \sqrt{x_{\text{v},k}^{\text{r}} + x_{\text{v},k}^{\text{r}} + x_{\text{v},k}^{\text{r}}} + w_k \quad (\Delta 9)$$

در (۵۹)، $w_k \sim (\cdot, \Delta t)$ است که مقدار Δt در شبیه‌سازی 1×10^{-4} انتخاب شده و مقادیر α ، κ و β در معادلات فرایند به ترتیب 10^{-4} ، 2×10^{-4} و 2×10^{-5} در نظر گرفته شده‌اند. همچنین مقادیر اولیه سیستم، مقادیر تخمین اولیه و کواریانس خطای اولیه به فرم (۶۰) تعریف شده‌اند

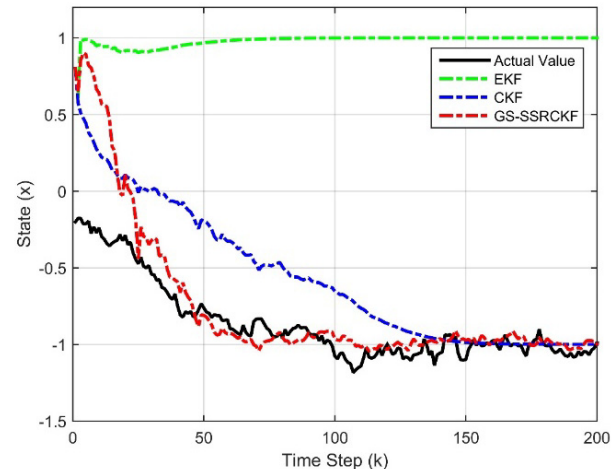
$$X_{\cdot \cdot} = [-\cdot, \gamma \quad -\cdot, \delta \quad -\cdot, \delta]$$

$$\hat{X}_{\cdot \cdot} = [\gamma, \delta \quad -\delta \quad \delta]$$

$$P_{\cdot \cdot} = \begin{bmatrix} \cdot, \delta & \cdot & \cdot \\ \cdot & \cdot, \delta & \cdot \\ \cdot & \cdot & \cdot, \delta \end{bmatrix}$$

در شکل ۶ سیستم آشوب لورنر در محیط بدون نویز و در فضای سه بعدی نمایش داده شده است.

در شبیه‌سازی انجام گرفته، تعداد اجرای مونت کارلو برابر ۲۵ در نظر گرفته شده و مدت زمان کل شبیه‌سازی ۴ ثانیه است. تعداد فیلترهای کالمن مکعبی در ساختار جمع گوسی، ۳ در نظر گرفته شده است. برای این مسأله، عملکرد روش پیشنهادی با فیلتر کالمن خنثی [۷] و فیلتر کالمن مکعبی درجه پنجم [۱۲] به عنوان نسخه‌ای از فیلترهای کالمن مکعبی درجه بالا (HCKF) مقایسه شده است. مقادیر RMSE متغیرهای حالت سیستم به ترتیب در شکل‌های ۷ تا ۹ نشان داده شده‌اند که نشان از



شکل ۴: مقادیر واقعی و تخمین زده برای یک اجرای مونت کارلو.

$P_{[1]} = 2$ در نظر گرفته شده‌اند. همچنین مقادیر اولیه فیلترهای کالمون مکعبی در روش جمع گویی با استفاده از همین مقادیر و به کمک تکنیک ارائه شده در [۲۷] به دست آورده شده است. تعداد فیلترهای کالمون مکعبی در روش جمع گویی حداقل و برابر با ۲ در نظر گرفته شده و زمان کل شبیه‌سازی نیز ۲ ثانیه است. برای بررسی عملکرد فیلترها در این مقاله از معیار جذر میانگین مربعات خطأ^(RMSE) استفاده شده که برای هر کدام از متغیرهای حالت سیستم از (۵۵) قابل محاسبه است

$$RMSE_k = \sqrt{\frac{1}{M} \sum_{N=1}^M (x_{k,true}^N - \hat{x}_{k|k}^N)^2} \quad (55)$$

در حل مسایل فیلترینگ در فضای تصادفی به منظور مقایسه عملکرد فیلترها از چند اجرای مستقل به روش مونت کارلو استفاده می‌شود. برای این مسأله تعداد اجراهای مستقل مونت کارلو $M = 200$ انتخاب شده است. در شکل ۴ مقادیر واقعی و تخمین زده شده حالت برای یک بار اجرا نشان داده شده است. به منظور مقایسه دقیق‌تر عملکرد فیلترها در شکل ۵ عملکرد روش پیشنهادی^۱ (GS-SSRCKF) با فیلتر کالمن توسعه یافته^۲ و کالمن مکعبی^۳ بر اساس معیار RMSE مقایسه شده که حاکی از خطاکمتر در تخمین حالات توسط این فیلتر است.

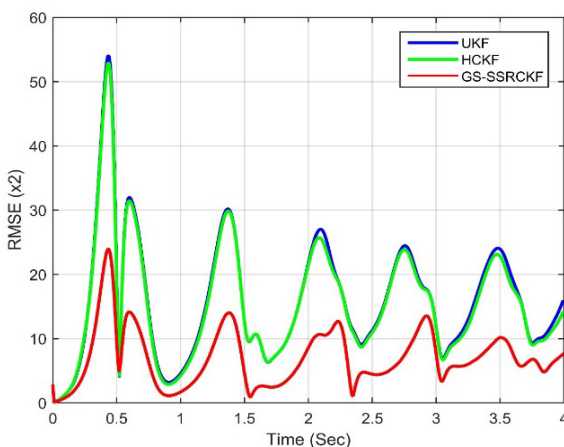
۵- تخمین حالت سیستم آشوب لورنژ

به عنوان مسأله دوم، سیستم آشوب لورنر را در نظر می‌گیریم. این سیستم در سال ۱۹۶۳ میلادی توسط ادوارد لورنر کشف شد. در این مقاله سیستم آشوب با ابعاد ۳ در نظر گرفته شده است اما در مسائل دنیای واقعی، نمونه‌های با ابعاد بالاتر آن را می‌توان یافت [۲۸]. معادلات سیستم آشوب لورنر به صورت (۵۶) می‌باشد [۲۹]

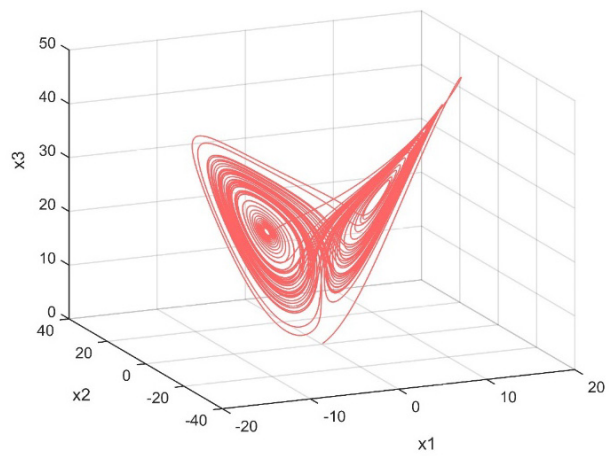
$$\begin{aligned}\dot{x}_i(t) &= f_i(x_i, x_r, x_r) = \alpha[x_r(t) - x_i(t)] \\ \dot{x}_r(t) &= f_r(x_i, x_r, x_r) = -x_i(t)x_r(t) + \kappa x_i(t) - x_r(t) \quad (\Delta\varphi) \\ \dot{x}_r(t) &= f_r(x_i, x_r, x_r) = x_i(t)x_r(t) - \beta x_r(t)\end{aligned}$$

در این مقاله برای شبیه‌سازی کامپیوتری، معادلات پیوسته- زمان (۵۶) را با استفاده از روش اویلر گسسته‌سازی کرده که معادلات سیستم به فرم (۵۷) بازنوسی می‌شود

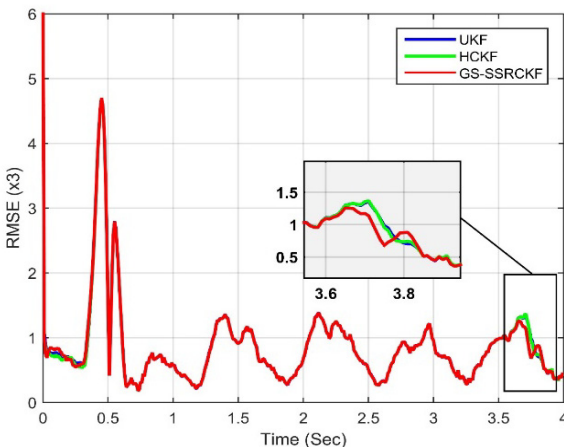
1. Root Mean Square Error
 2. Gaussian-Sum Spherical Simplex-Radial Cubature Kalman Filter



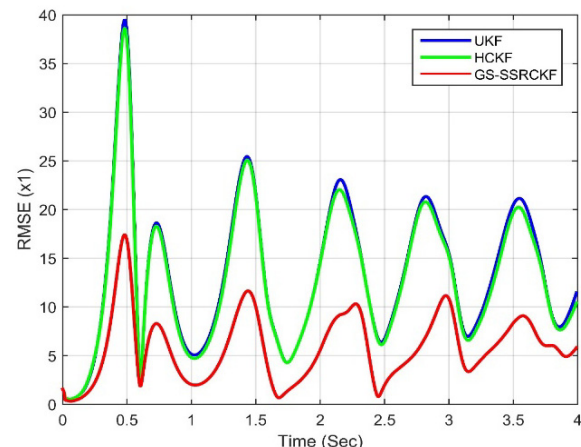
شکل ۸: مقایسه مقدار خطای RMSE برای متغیر حالت دوم.



شکل ۶: سیستم آشوب لورنژ.



شکل ۹: مقایسه مقدار خطای RMSE برای متغیر حالت سوم.



شکل ۷: مقایسه مقدار خطای RMSE برای متغیر حالت اول.

دقت بیشتر روش پیشنهادی دارد.

۶- نتیجه‌گیری

در این مقاله الگوریتم جدیدی برای تخمین حالت سیستم‌های غیر خطی ارائه شده است. این الگوریتم شامل یک دسته چندتایی از فیلترهای کالمن مکعبی است که در ساختار جمع گوسی و بر اساس انتشار نقاط مکعبی به دست آمده از قانون شعاعی-کروی سیمپلکس به تخمین متغیرهای حالت می‌پردازند. استفاده از قانون شعاعی-کروی سیمپلکس علاوه بر داشتن مزیت دقیق بیشتر به علت دو نقطه مکعبی افزوده شده جهت انتشار در توابع، میزان بار محاسباتی تحمیل شده به پردازشگر توسط الگوریتم تخمین را به خصوص برای سیستم‌های با ابعاد بالا تغییر آنچنان نخواهد داد. به منظور نمایش عملکرد بهتر الگوریتم پیشنهادی در تخمین حالات، مقایسه‌ای بر اساس معیار RMSE بین چند روش فیلترینگ غیر خطی مرسوم و روش پیشنهادی روی دو سیستم نمونه صورت گرفت که نتایج حاصل نشان از دقیق بیشتر روش پیشنهادشده دارد. می‌توان از این الگوریتم در بسیاری از کاربردهای مهم نظری ناوبری، ردیابی هدف و یا تخمین متغیرهای حالت سیستم‌های مکانیکی یا شیمیایی جهت مقاصد کنترلی بهره گرفت.

مراجع

- [2] Y. Bar-Shalom, X. R. Li, and T. Kirubarajan, *Estimation with Applications to Tracking and Navigation*, John Wiley & Sons, 2001.
- [3] B. C. Kumar Pakki and G. Da-Wei, *Nonlinear Filtering Methods and Applications*, Springer, 2019.
- [4] R. E. Kalman, "A new approach to linear filtering and prediction problems," *J. of Basic Engineering*, vol. 82, no. 1, pp. 35-45, Mar. 1960.
- [5] A. Gelb, *Applied Optimal Estimation*, MIT Press, 1974.
- [6] M. Nørgaard, N. K. Poulsen, and O. Ravn, "New developments in state estimation for nonlinear systems," *Automatica*, vol. 36, no. 11, pp. 1627-1638, Apr. 2000.
- [7] S. Julier, J. Uhlmann, and H. F. Durrant-Whyte, "A new method for the nonlinear transformation of means and covariances in filters and estimators," *IEEE Trans. on Automatic Control*, vol. 45, no. 3, pp. 477-482, Mar. 2000.
- [8] K. Ito and K. Xiong, "Gaussian filters for nonlinear filtering problems," *IEEE Trans. on Automatic Control*, vol. 45, no. 5, pp. 910-927, May 2000.
- [9] I. Arasaratnam, S. Haykin, and L. Fellow, "Cubature Kalman filters," *IEEE Trans. on Automatic Control*, vol. 54, no. 6, pp. 1254-1269, Jun. 2009.
- [10] I. Arasaratnam, S. Haykin, and T. R. Hurd, "Cubature Kalman filtering for continuous-discrete systems: theory and simulations," *IEEE Trans. on Signal Processing*, vol. 58, no. 10, pp. 4977-4993, Oct. 2010.
- [11] I. Arasaratnam and S. Haykin, "Cubature Kalman smoothers," *Automatica*, vol. 47, no. 10, pp. 2245-2250, Oct. 2011.
- [12] B. Jia, M. Xin, and Y. Cheng, "High-degree cubature Kalman filter," *Automatica*, vol. 49, no. 2, pp. 510-518, Feb. 2013.
- [13] D. Meng, L. Miao, H. Shao, and J. Shen, "A seventh-degree cubature Kalman filter," *Asian J. of Control*, vol. 20, no. 1, pp. 250-262, Jan. 2018.
- [14] S. Wang, J. Feng, and K. T. Chi, "Spherical simplex-radial cubature Kalman filter," *IEEE Signal Processing Letter*, vol. 21, no. 1, pp. 43-46, Jan. 2013.
- [15] M. S. Arulampalam, S. Maskell, N. Gordon, and T. Clapp, "A tutorial on particle filters for online nonlinear/non-Gaussian

- [1] N. Gordon, B. Ristic, and S. Arulampalam, *Beyond the Kalman Filter: Particle Filters for Tracking Applications*, Artech House, 2004.

- [26] S. Bhaumik, M. Srinivasan, S. Sadhu, and T. K. Ghoshal, "Adaptive grid risk-sensitive filter for non-linear problems," *IET Signal Processing*, vol. 5, no. 2, pp. 235-241, Apr. 2011.
- [27] F. Faubel and D. Klakow, "Further improvement of the adaptive level of detail transform: splitting in direction of the nonlinearity," in *Proc. 18th European Signal Processing Conf.*, pp. 850-854, Aalborg, Denmark, 23-27 Aug. 2010.
- [28] I. Stewart, "The lorenz attractor exists," *Nature*, vol. 406, no. 6799, pp. 948-949, Aug. 2000.
- [29] K. Nosrati, C. Volos, and A. Azemi, "Cubature Kalman filter-based chaotic synchronization and image encryption," *Signal Processing: Image Communication*, vol. 58, pp. 35-48, Oct. 2017.
- محمدامین احمدپور کاچک** تحصیلات خود را در مقاطع کارشناسی و کارشناسی ارشد در رشته مهندسی برق به ترتیب در دانشگاه صنعتی سجاد و دانشگاه فردوسی مشهد به پایان رسانده است. زمینه‌های تحقیقاتی مورد علاقه ایشان سیستم‌های کنترل غیرخطی، تخمین حالت و فیلترینگ غیرخطی می‌باشد.
- بهروز صفری نژادیان** تحصیلات خود را در مقاطع کارشناسی و کارشناسی ارشد مهندسی برق به ترتیب در سال‌های ۱۳۸۱ و ۱۳۸۴ از دانشگاه شیراز و در مقاطع دکتری مهندسی برق در سال ۱۳۸۸ از دانشگاه صنعتی امیرکبیر به پایان رسانده است و هم‌اکنون استاد دانشکده مهندسی برق دانشگاه صنعتی شیراز می‌باشد. زمینه‌های تحقیقاتی مورد علاقه ایشان عبارتند از: کنترل فرآیندهای تصادفی، پردازش آماری سیگنال، شبکه‌های حسگر، سیستم‌های کنترل و سیستم‌های چندعاملی.
- Bayesian tracking." *IEEE Trans. on Signal Processing*, vol. 50, no. 2, pp. 174-188, Feb. 2002.
- [16] D. Simon, *Optimal State Estimation: Kalman, H Infinity, and Nonlinear Approaches*, John Wiley & Sons, 2006.
- [17] P. H. Leong, S. Arulampalam, T. A. Lamahewa, and T. D. Abhayapala, "A Gaussian-sum based cubature Kalman filter for bearings-only tracking," *IEEE Trans. on Aerospace and Electronic Systems*, vol. 49, no. 2, pp. 1161-1176, Apr. 2013.
- [18] R. Radhakrishnan, S. Bhaumik, and N. K. Tomar, "Gaussian sum shifted Rayleigh filter for underwater bearings-only target tracking problems," *IEEE J. of Oceanic Engineering*, vol. 44, no. 2, pp. 492-501, Apr. 2018.
- [19] L. Wang and X. Cheng, "Algorithm of gaussian sum filter based on high-order UKF for dynamic state estimation," *International J. of Control, Automation and Systems*, vol. 13, no. 3, pp. 652-661, Mar. 2015.
- [20] S. Sarkka, "On unscented Kalman filtering for state estimation of continuous-time nonlinear systems," *IEEE Trans. on Automatic Control*, vol. 52, no. 9, pp. 1631-1641, Sept. 2007.
- [21] G. Mohammaddadi, N. Pariz, and A. Karimpour, "Modal Kalman filter," *Asian J. of Control*, vol. 19, no. 2, pp. 728-738, Mar. 2017.
- [22] B. Jia, M. Xin, and Y. Cheng, "Sparse-grid quadrature nonlinear filtering," *Automatica*, vol. 48, no. 2, pp. 327-341, Feb. 2012.
- [23] A. Genz and J. Monahan, "Stochastic integration rules for infinite regions," *SIAM J. on Scientific Computing*, vol. 19, no. 2, pp. 426-439, Mar. 1998.
- [24] J. H. Kotecha and P. M. Djuric, "Gaussian sum particle filtering," *IEEE Trans. on Signal Processing*, vol. 51, no. 10, pp. 2602-2612, Oct. 2003.
- [25] S. Sadhu, S. Bhaumik, A. Doucet, and T. K. Ghoshal, "Particle-method-based formulation of risk-sensitive filter," *Signal Processing*, vol. 89, no. 3, pp. 314-319, Mar. 2009.